

Extraction and characterization of Bombyx Mori silk for medical application

S.Mobini^{1*}, M.Solati-Hashjin², H.Peirovi³, A.Samadikochaksaraei⁴

¹Assistant Professor, Reproductive Biotechnology Research Center of Ebne Sina, Medical Research Institute of New Technology,
Sahba.Mobini@gmail.com

²Associate Professor, Biomaterial group, Faculty of Biomedical Engineering, Amirkabir University of Technology,
Solati@aut.ac.ir

³Professor, Nanomedicine and tissue engineering research center, Shahid Beheshti University,
dhpsurgery@sbmu.ac.ir

⁴ Associate Professor, Cellular and Molecular Research Center, Tehran University of Medical Sciences,
ali.samadi01@imperial.ac.uk

Abstract

Silk fibroin is fibrous proteins with excellent mechanical properties which are produced by wide group of animals such as Bombyx Mori. Silk fibroin with specific molecular structure can be processed into a diverse set of morphologies. Additionally, biotechnologically produced silk proteins will allow the preparation of a new generation of protein-based bio-polymeric materials with programmed properties for a wide variety of exciting medical applications. In this study, silk protein was extracted from Bombyx Mori's cocoons and evaluated by FTIR and XRD methods. Results showed sharp amide peaks in 1655 cm⁻¹ and 1530 cm⁻¹ wavelength in FTIR spectrum pattern confirming existence of fibroin. SEM images of the fibers showed continuous fibers with cross-section between 14 to 24 μm. Biocompatibility tests were carried out through seeding osteoblasts cell line G292 on 2D film as well as fibers. Adhesion and proliferation of osteoblasts were investigated by MTT assay which showed no cytotoxicity. Therefore, fibroin appears to be remarkable material for prospect application in biomedicine.

Keywords: Bombyx Mori's cocoons, Natural polymers, fibroin, Biomaterials, Environmental compatibility.

* Corresponding author

Address: Sahba Mobini, Reproductive Biotechnology Research Center of Ebne Sina, Medical Research Institute of New Technology Tehran, Iran

Tel: +98 21 22432020

Fax: +98 21 22432021

E-mail: Sahba.Mobini@gmail.com

استحصال و بررسی خواص فیروئین ابریشم بومبیکس موری برای کاربردهای پزشکی

صهبا مبینی^{۱*}، مهران صولتی هاشجین^۲، حبیب‌الله پیروی^۳، علی صمدی کوچکسرای^۴

^۱ دانشجوی دکتری تخصصی بیومتریال، آزمایشگاه نانوبیومتریال، دانشکده مهندسی پزشکی، دانشگاه صنعتی امیرکبیر

Sahba.Mobini@gmail.com

^۲ دانشیار گروه بیومتریال، دانشکده مهندسی پزشکی، دانشگاه صنعتی امیرکبیر

Solati@aut.ac.ir

^۳ استاد دانشگاه شهیدبهشتی، مرکز تحقیقات نانوپزشکی و مهندسی بافت

dhpsurgery@sbm.ac.ir

چکیده

فیروئین ابریشم، پروتئینی فیبری با خواص مکانیکی بسیار مطلوب است که توسط دسته بزرگی از جانوران از جمله کرم بومبیکس موری به شکل رشته‌ای ساخته می‌شود. ساختار منحصر به فرد ابریشم، تنوع فراوری، زیست‌سازگاری، در دسترس بودن آن به شکل‌های گوناگون، امکان اعمال مهندسی ژنتیک بر روی گونه‌های مختلف، قابلیت استریل شدن، شیمی سطح مناسب و تخریب پذیری کنترل شده، ابریشم را در کاربردهای بالینی، پزشکی، آرایشی-بهداشتی و غذایی به ماده‌ای بی‌نظیر بدل کرده است. در پژوهش حاضر استحصال و بررسی پروتئین فیروئین از تار ابریشم بومبیکس موری با هدف کاربردهای پزشکی و بهداشتی انجام شد. خواص فیزیکی، شیمیایی و ساختاری ابریشم توسط XRD، FTIR و SEM مورد بررسی قرار گرفت. سلول‌های استئوبلاستی G292 به منظور بررسی خواص زیستی این بیومتریال بر روی آن کشت داده شد. نمودار طیف FTIR فیروئین استخراج شده است که پیک‌هایی را در 1655 cm^{-1} ، 1530 cm^{-1} و 699 cm^{-1} نشان می‌دهد. فیروئین ابریشم همچنین پس از استخراج و پس از بازیابی با متانول از نظر میزان بلورینگی با دستگاه XRD مورد بررسی قرار گرفت که ظهور پیک در نمونه بازیابی شده نشان از تشکیل مجدد صفحات بتا داشت. از الیاف ابریشم نیز قبل و بعد از صمغ‌زدایی با SEM تصویربرداری شد و قطر نسبی الیاف ابریشم بین ۱۴ تا ۲۴ میکرومتر تعیین شد. آزمون‌های زیست‌سازگاری بیرون‌تنی MTT برای بررسی قابلیت کاربرد آن در بدن انجام شد و سازگاری سلول‌ها در مجاورت فیروئین به اثبات رسید. استئوبلاست‌های چسبیده بر روی داربست‌ها توسط SEM مورد بررسی قرار گرفت. بررسی‌های فیزیکی و زیستی اولیه بر روی پروتئین فیروئین سازگار بودن آن با سیستم‌های زیستی را تایید کرد. به نظر می‌رسد پروتئین حاضر می‌تواند پیش‌ماده مناسبی برای تولید مواد مرتبط با سیستم‌های زیستی باشد.

کلیدواژگان: ابریشم بومبیکس موری، پلیمر طبیعی، پروتئین فیروئین، بیومتریال، زیست‌سازگاری.

*عهده‌دار مکاتبات

نشانی: تهران، خیابان حافظ، دانشگاه صنعتی امیرکبیر، دانشکده مهندسی پزشکی، آزمایشگاه نانو بیومتریال

تلفن: ۶۴۵۴۲۳۶۹، دورنگار: ۶۶۴۶۸۱۸۶، پیام‌نگار: Sahba.Mobini@gmail.com

۱-مقدمه

می‌دهد، این کرم در طی مدت دگرذیسی پیل‌های محافظ از جنس ابریشم به دور خود می‌تند. چرخه حیات این کرم در شکل ۱ نشان داده شده است [۶].

جدول ۱- خواص مکانیکی ابریشم ها در مقایسه با یکدیگر و برخی الیاف مصنوعی

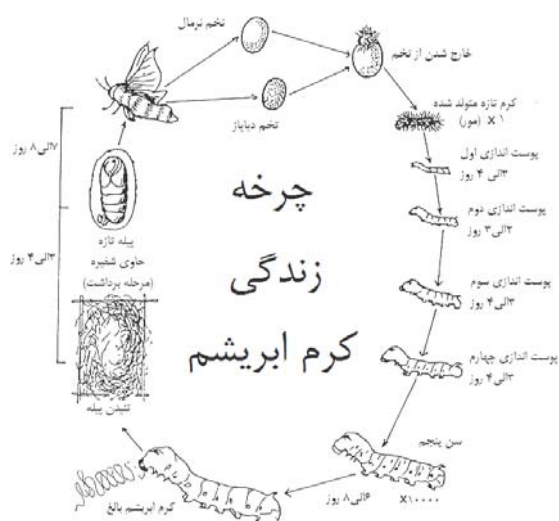
[۲]

ماده	استحکام نهایی GPa	کرنش نهایی	چقرمگی MJm ⁻³
ابریشم بومبیکس	۶/۰	۱۸/۰	۷۰
موری ابریشم عنکبوت	۱/۱	۲۷/۰	۱۶۰
دیادما تئوس نایلون	۹۵/۰	۱۸/۰	۸۰
کولار ۴۹	۶/۳	۰۲۷/۰	۵۰
فولاد	۵/۱	۰۰۸/۰	۶

ابریشم پروتئینی است که توسط برخی از بندپایان از جمله عنکبوت‌ها (بیش از ۳۰,۰۰۰ نوع عنکبوت که از جمله معروف‌ترین آنها می‌توان به نفیلا کلاویس^۱ اشاره کرد)، عقرب‌ها، کک‌ها و برخی از کرم‌های رسته پشیزبالان^۲ از جمله کرم پنی، پروانه‌ها و بیدها، به صورت تار تنیده می‌شود. این جانوران از تارهای ابریشم برای اهداف گوناگونی از جمله پناه‌گاه، لانه، محافظ تخم، وسیله حمل و نقل و ابزار شکار استفاده می‌کنند. ابریشم‌ها بنابر منشاء تولید و کاربردشان ساختارهای گوناگون و خواص متفاوتی دارند. عنکبوت‌ها و حشرات، ابریشمی غنی از گلايسین^۳ ترشح می‌کنند که بر حسب نوع کاربردشان اختصاصی می‌شوند. این ابریشم‌ها با ابریشم تولید شده توسط کرم‌های بومبیکس موری^۴، از جهات بسیاری متفاوت است. ابریشم عنکبوت به دلیل سبکی، استحکام فوق‌العاده بالا، انعطاف و مقاومت در برابر ضربه، گزینه بسیار قابل توجهی به عنوان بیومتریال است [۱،۲،۳،۴]. خلاصه‌ای از مهم‌ترین خواص و تفاوت‌های ابریشم عنکبوت-ها و ابریشم کرم ابریشم در جدول ۱ آمده است.

به رغم اینکه تار ابریشم عنکبوت در مقایسه با ابریشم کرم ابریشم خواص مکانیکی برتری دارد، هنوز برای کاربردهای مهندسی پزشکی تجاری نشده است. مهم‌ترین دلایل این امر، وحشی بودن طبیعت عنکبوت‌ها و اندک بودن میزان تولید تار ابریشم توسط این جانوران است. به منظور فائق آمدن بر این مانع فنی تحقیقات در این زمینه به سمت تولید پروتئین تار عنکبوت با استفاده روش‌های زیست-فناوری سوق پیدا کرده است [۵]. از میان تمام جانورانی که ابریشم تولید می‌کنند، کرم ابریشم بومبیکس موری از نظر اقتصادی بسیار به صرفه‌تر است. زیرا اهلی کردن آن امکان-پذیر بوده و دسترسی مناسبی به منابع تامین‌کننده این ابریشم وجود دارد [۲]. از این رو تحقیقات زیادی برای درک ساختار، فرآوری و خواص آن به عنوان بیومتریال انجام شده است. نگاهی به چرخه زندگی کرم ابریشم بومبیکس موری نشان

شکل ۱. چرخه حیات کرم بومبیکس موری



می‌رسد و به نوبه خود از نانوفیبرل‌های^۸ تاییده‌ای با قطر ۹۰ الی ۱۷۰ نانومتر تشکیل شده‌اند که نقش مهمی را در ایجاد استحکام ابریشم دارند. اما از دیدگاه مولکولی، پروتئین فیبروئین متشکل از دو رشته سنگین و سبک پروتئینی با نسبت‌های مساوی است. رشته سنگین ۳۷۰ کیلودالتون وزن دارد و عمدتاً از ماکرومولکول‌های آبگریز بسیار منظم ساخته شده است که طول آن ۱۵۰ نانومتر است. رشته سبکتر ۲۶ کیلودالتون وزن دارد و تشکیل‌دهنده‌های اصلی آن آمینو اسیدهای قطبی هستند. زنجیره کوچک، ۴۵/۰ نانومتر طول دارد. ۹۰٪ پروتئین فیبروئین از توالی و تکرار سه اسید آمینه اصلی گلايسين (۴۳٪)، آلانین^۹ (۳۰٪) و سرین^{۱۰} (۱۲٪) به وجود آمده است [۱۰]. ساختمان ثانویه فیبروئین از طریق برهمکنش‌های گوناگونی شکل می‌گیرد که مهم‌ترین آن ایجاد پیوندهای هیدروژنی بین گروه‌های عاملی زنجیره‌های پپتیدی و زنجیره‌های جانبی ابرمولکول است. وجود همین پیوندهای هیدروژنی دلیل اصلی استحکام کششی فوق‌العاده فیبروئین است. ترکیب بلوک‌های آبگریز منظم با بلوک‌های نسبتاً نامنظم آبدوست، سبب افزایش الاستیسیته و چقرمگی فیبروئین می‌شود [۳]. خواص مکانیکی ابریشم در مجموع با بهترین الیاف مصنوعی، از جمله کولار^{۱۱}، قابل رقابت است [۱۱].

خواص مکانیکی الیاف ابریشم تلفیق بسیار مناسبی از سبکی ($3/1 \text{ gcm}^{-1}$) و استحکام کششی زیاد است. امروزه سه ساختار ثانویه اصلی برای فیبروئین مشخص شده است که در محل‌های بلورین به شکل پیچ‌آلفا و صفحات بتا است و به ترتیب به آنها Silk I و Silk II می‌گویند. در محل‌های آمورف این ساختار به صورت ترکیب نامنظمی از گلوبول‌های تصادفی است (Silk III). ساختار فیبروئین تنیده شده به طور متوسط ۵۶٪ صفحات بتا و ۵/۱۳٪ پیچ‌آلفا تشکیل شده است [۱۰]. ابریشم غیربلورین، در تماس با متانول یا کلرید پتاسیم تغییر شکل داده و به ساختاری با صفحات بتا تبدیل می‌شود.

مایع ویسکوزی که از غدد واقع در سر کرم ابریشم برای تنیدن پيله ترشح می‌شود، فیبروئین نام دارد. فیبروئین با ترشح دیگری که سرسین^۵ نام دارد و از دو غده متقارن دیگر تراوش می‌کند، پوشیده می‌شود. این دو ماده در کنار هم در معرض هوا سخت می‌شوند و در مجموع این فرآیند تارهایی حاوی فیبروئین و سرسین را به وجود می‌آورد [۷]. سرسین که صمغ ابریشم^۶ نیز نامیده می‌شود، پروتئینی زرد رنگ، ترد و غیر الاستیک است که ۲۵ تا ۳۰ درصد از تار ابریشم را تشکیل می‌دهد. این پروتئین به دور فیبروئین پیچیده و لایه چسبنده‌ای را ایجاد می‌کند که در نهایت به شکل‌گیری پيله کمک می‌کند. سرسین آنتی‌اکسیدان، آنتی‌باکتریال و مقاوم در برابر پرتو فرا بنفش است اما معمولاً حاوی ناخالصی‌هایی چون موم، چربی و رنگدانه است. بنابراین باید به طور کامل از سیستم خارج شود چون حضور آن در مواد در تماس با بدن مانند نخ‌های بخیه سبب برانگیختن پاسخ‌های ایمنی و التهابی شده و حساسیت ایجاد می‌کند [۸]. به جدا کردن سرسین از الیاف ابریشم صمغ‌زدایی می‌گویند. این پروتئین در حلال‌های قطبی از جمله آب حل می‌شود، در محلول‌های اسیدی یا قلیایی هیدرولیز شده و در معرض پروتئازها تجزیه می‌شود. با این وجود پپتیدهای هیدرولیز شده سرسین خواص مرطوب‌کنندگی فوق‌العاده‌ای دارند و پپتیدهای سبک-تر آن (کمتر از ۲۰ کیلودالتون) در صنایع آرایشی از قبیل محصولات مراقبت پوست و مو، صنایع بهداشتی و داروسازی به کار می‌روند. پپتیدهای سنگین‌تر (بیشتر از ۲۰ کیلودالتون) به عنوان بیومتریال‌های تخریب‌پذیر، پلیمرهای و غشاهای زیستی، هیدروژل‌ها کاربرد دارند [۶]. این کاربردها و کاربردهای دیگر سرسین در مقاله بسیار مفیدی توسط زانگ مرور شده است [۹]. فیبروئین، یک پروتئین رشته‌ای^۶ و نامحلول در آب است که به طور متوسط ۷۸٪ وزن پيله را به خود اختصاص داده است [۳]. امروزه مشخص شده است اجزاء تشکیل‌دهنده ساختار ابرمولکولی تارهای ابریشم ماکرو فیبریل‌هایی^۷ هستند که عرضشان به $5/6 \times 10^5$ نانومتر

⁵ Sericin
⁹ Alanine (Ala)

⁶ fibrous protein
¹⁰ Serine (Ser)

⁷ macrofibrils
¹¹ Kevlar

⁸ nanofibrils

میان زنجیره‌های پروتئین یکی از راه‌های باز کردن زنجیره‌ها و حل کردن آن است. در این فرآیند از محلول لیتیم برماید با غلظت بالای یون‌ها استفاده می‌شود تا ساختار فضایی فیبروئین را بر هم بریزد. استفاده از غشاء دیالیز در نهایت این امکان را به دست می‌دهد که مولکول‌های درشت فیبروئین از نمک غلیظ جدا شده و خالص و قابل حل گردند. فیبروئین بدست آمده از این روش قابل شکل دادن به صورت‌های گوناگون است. اما برای بازیابی قابلیت‌های اصیل فیبروئین ساختار باید بار دیگر به شکل صفحات بتا تغییر کند تا خواص مطلوب حاصل شود. نظم زنجیره‌های سبک و سنگین و حوزه‌های آبگریز و آبدوست این پروتئین در مجاورت متانل بازیابی می‌شود. مشخصه‌یابی فیزیکی و زیستی فیبروئینی که به این روش از پیله‌های کرم بومی‌کس موری تولید داخل بدست آمده است موضوع پژوهش حاضر است.

این رفتار امکان بازیابی ساختار غیربلورین فیبروئین محلول در آب را امکان‌پذیر می‌سازد. فیبروئین پس از بازیابی مجدداً ساختار نامحلول در آب پیدا می‌کند. دلیل این امر آن است که ساختارهای صفحه‌ای بتا نامتقارن بوده و در یک سمت شامل زنجیره‌های جانبی هیدروژن از گلايسین و در سوی دیگر با گروه‌های متیل آلانین احاطه شده‌اند که در آب و سایر محیط‌های حاوی اسید یا قلیای ضعیف حل نمی‌شوند [۲،۱۲،۱۳]. این واقعیت آنجا اهمیت می‌یابد که سبب می‌شود اشکال متنوعی از ابریشم را تولید کرد. توانایی فیبروئین در خودآرایی و امکان فرآوری آن در اشکال گوناگونی مانند، داربست، ژل، فوم، فیلم، کیسول و غیره [۲،۱۴،۱۵] در نهایت سبب شده تا برای این ماده زیست-سازگار کاربردهای فراوانی در زمینه‌های نوین پزشکی فرض شود.

۲- شرح مسئله

تولید ابریشم از دیرباز یکی از صنایع بومی منطقه شمال کشورمان (ایران) بوده [۱۶] که نزدیک به ۱۰۰٪ تولید آن در صنعت نساجی بکارگرفته می‌شود. کشف قابلیت‌های بی-همتای ابریشم حضور این الیاف تاریخی را در عرصه‌های نوین علم و تکنولوژی بسیار پرنگ‌تر از گذشته کرده است. وجود ویژگی‌های منحصربفردی چون زیست‌سازگاری، شکل‌پذیری، تخریب‌پذیری کنترل‌شده و استحکام مکانیکی بالا سبب تمایل به استفاده از این ماده در فن‌آوری‌های نوین از جمله زیست‌پزشکی شده‌است. این پژوهش با هدف دستیابی به ماده اولیه قابل فرآوری از پروتئین ابریشم در زمینه‌های زیست‌پزشکی از جمله مهندسی بافت استخوان و پوست انجام شد. الیاف صمغ‌زادایی شده ابریشم یا رشته‌های فیبروئین با ساختار مستحکم صفحات بتا (silk II) در آب نامحلول هستند. بنابراین باید ساختار سوم و دوم آن به فرم پیچ آلفا (silk I) قابل حل در آب تبدیل شود تا امکان تهیه محلول و به تبع آن اشکال دیگر از جمله ژل‌ها و اسفنج‌ها (برای کاربردهای مهندسی بافت) از آن ممکن شود. استفاده از محلول نمک‌های غلیظ برای برهم‌زدن تعادل برهمکنش‌های

۳- داده‌ها و روش حل

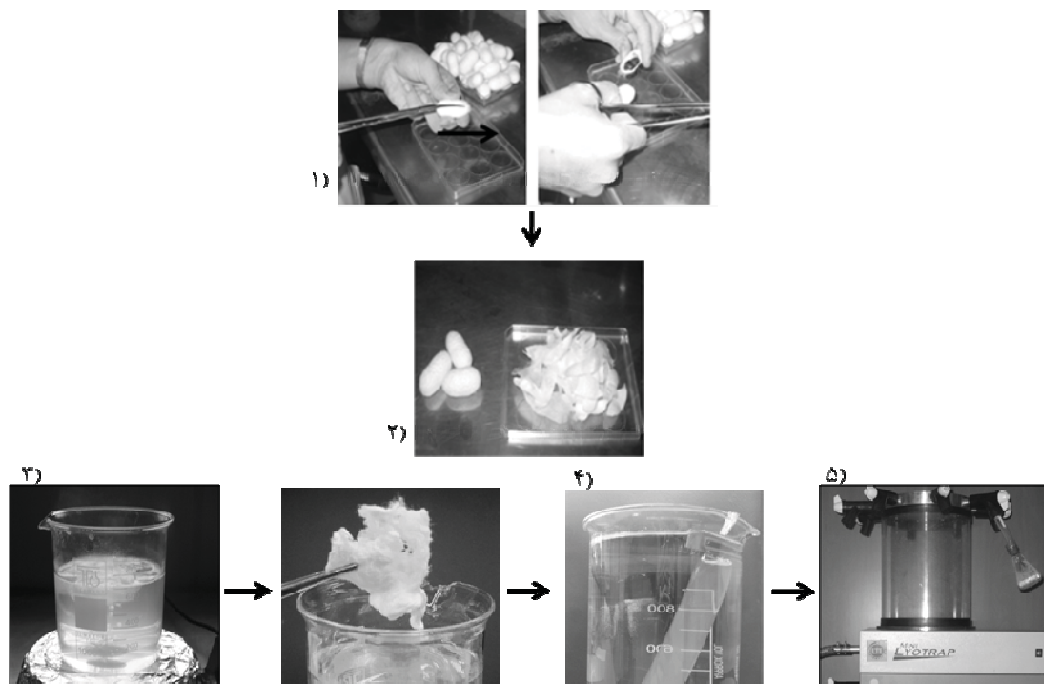
۳-۱- مواد

برای صمغ‌زدایی و استحصال فیبروئین نمک‌های کربنات سدیم Na_2CO_3 ، برمیدلیم LiBr با خلوص بالای ۹۹/۹٪ از شرکت (Merck، آلمان) تهیه شد. تیوب دیالیز با قابلیت عبور وزن مولکولی ۱۴-۱۲ KDa از شرکت (Sigma، آلمان) خریداری شد. آب دوبار تقطیر فوق خالص با ضریب هدایت کمتر از $0.05/0 \mu\text{S}/\text{cm}$ توسط دستگاه تهیه آب فوق خالص (UPW) ساخت شرکت (Sartorius، آلمان) تهیه شد. پیله‌های کرم بومی‌کس موری از طرف مرکز تحقیقات ابریشم ایران در قالب هدیه تحقیقاتی دریافت شد. برای انجام آزمون‌های زیست‌سازگاری، سلول‌های استئوبلاست انسانی رده G292 از بانک سلولی انستیتو پاستور ایران تهیه شد. محیط کشت DMEM کم‌گلوکز آماده، پنیسلین / استرپتومایسین، سرم جنین گاوی FBS، Trypsin/EDTA از شرکت (Gib-Co، آمریکا) و محلول آماده MTT و DMSO از شرکت (Sigma، آلمان) خریداری شدند.

۳-۲- صمغ‌زدایی و استحصال فیبروئین

پيله‌های کرم بومبيکس موری در روز پنجم برداشت و شفيره‌ها داخل آن با بخار آب داغ کشته شدند. به منظور صمغ‌زدایی الیاف ابریشم، سه عدد پيله کرم بومبيکس موری باز و محتوی آن را خارج شد. سپس پيله‌ها در ۷۵۰ میلی‌لیتر Na_2CO_3 ۰۲/۰ مولار به مدت یک ساعت قرار داده شد. الیاف بدست آمده ۳ بار با یک لیتر آب دیونیزه سرد و گرم به خوبی آب‌کشی و به مدت یک شب در زیر هود خشک شد. برای تهیه فیبروئین محلول در آب، الیاف صمغ‌زدایی شده‌ی ابریشم به نسبت ۱۰٪ وزنی در محلول ۳/۹ مولار لیتیم برماید به مدت ۵ ساعت در ۵۵ درجه سانتی‌گراد حل شد. محلول

غلیظ نمک و فیبروئین به مدت ۳۶ ساعت در غشاء دیالیز با ضریب خروج ۱۲۰۰۰ دالتون در یک لیتر آب فوق خاص قرار داده شد. آب ظرفی که کیسه دیالیز در آن قرار داشت ۶ بار به طور منظم تعویض شد. محلول باقی‌مانده در غشاء دیالیز به مدت ۱۲ ساعت در فریزداریر خشک شد تا فیبروئین خالص قابل حل در آب بدست آید. فیبروئین استحصال شده به این روش به صورت پودر سفید رنگ و قابل نگهداری در دمای محیط است. شکل ۲ مراحل تهیه فیبروئین را نشان می‌دهد. برای بازیابی ساختار صفحات بتا فیبروئین باید به مدت حداقل ۳۰ دقیقه در مجاورت متانل ۹۹٪ قرار گیرد.



شکل ۲. مراحل استخراج فیبروئین (۱،۲ تمیز کردن پيله‌ها (۳ صمغ‌زدایی (۴ دیالیز کردن محلول غلیظ نمک و الیاف (۵ فریزداری کردن و تهیه پودر

۳-۳- مشخصه یابی فیزیکی و شیمیایی

به منظور تایید حضور پیوندهای آمینی ویژه پروتئین فیبروئین، آزمون طیف‌سنجی تبدیل فوریه مادون قرمز توسط دستگاه FTIR مدل EQUINOX 55 در بازه $4000-500\text{ cm}^{-1}$ طبق استاندارد ASTM E1252-07 انجام شد. برای انجام این آزمون از پودر فیبروئین و پودر KBr قرص‌هایی نازکی تهیه شد و در دستگاه قرار گرفت. برای بررسی میزان بلورینگی و مطالعه تغییرات قبل و بعد از تاثیر متانول بر ساختار ثانویه مولکولی و بلورینگی فیبروئین، آزمایش پراش پرتو ایکس توسط دستگاه XRD مدل D5000 SIMENS در بازه $2\theta: 5^{\circ}-70^{\circ}$ درجه بر روی فیبروئین قبل و پس از بازیابی انجام شد. تارهای ابریشم قبل و پس از صمغ‌زدایی توسط میکروسکپ الکترونی روبشی، دستگاه SEM مدل XL Philips 30/ESEM در وضعیت فیلد امیژن با مد الکترون ثانویه (SE) مورد بررسی قرار گرفتند.

۳-۴- آزمون زیست‌سازگاری

برای انجام آزمون زیست‌سازگاری بر روی فیبروئین فیلم فیبروئینی بازیابی شده تهیه شد. برای ایجاد یک لایه نازک فیبروئینی بر کف ظرف کشت 100 میکرولیتر از محلول 8% وزنی فیبروئین در داخل چاهک ظرف کشت پخش شد و به مدت یک شبانه روز زیر هود استریل خشک شد. برای بازیابی ساختاری و نامحلول کردن آن در آب، لایه نازک فیبروئینی به مدت 30 دقیقه در مجاورت متانل 99% قرار گرفت و سپس 2 بار به طور کامل با PBS شستشو داده شد. برای بدست آوردن تعداد سلول‌های مورد نیاز سلول‌های استئوبلاست انسانی رده G292 در محیط کشت DMEM کم گلوکز حاوی 10 واحد در میلی‌لیتر پنسیلین و 100 میکروگرم بر میلی‌لیتر استرپتومایسین، 9% سرم جنین گاوی FBS در 37 درجه سانتی‌گراد در انکوباتور مرطوب حاوی $5\% \text{ CO}_2$ / 95% هوا، تکثیر شد. برای انجام آزمون، ظرف کشت حاوی لایه‌های نازک با الکل 70 درجه و تابش UV استریل شد. $100,000$ سلول استئوبلاستی در چاهک پوشش داده شده و به مقدار مساوی در چاهک کنترل ریخته

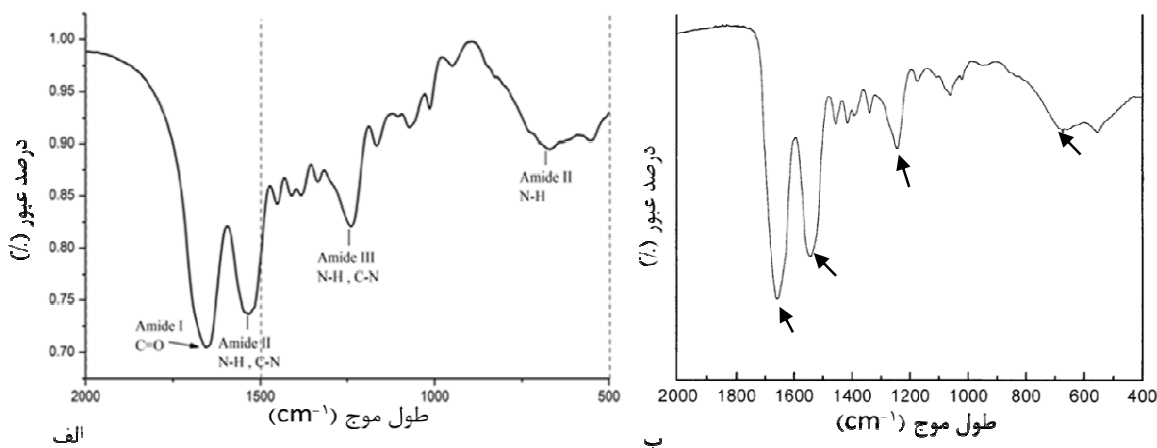
شد. به مدت 48 ساعت در انکوباتور مرطوب در شرایط دمایی 37 درجه سانتی‌گراد و فشار $5\% \text{ CO}_2$ قرار گرفت. 200 میکرولیتر از محلول 10% MTT (با غلظت 5 mg/ml) در محیط کامل به هر چاهک اضافه و به مدت 4 ساعت در 37 درجه سانتی‌گراد انکوبه شد. پس از افزودن DMSO، شدت رنگ فورمازان ایجاد شده، توسط دستگاه الایزا با طول موج 573 نانومتر مورد بررسی قرار گرفت. داده‌های خروجی دستگاه توسط نرم افزار SpSS 17.0 مورد تحلیل قرار گرفت. سلول‌های استئوبلاست G292 که روی فیلم‌های فیبروئینی کاشته شده بوند پس از 4 روز، توسط میکروسکپ الکترونی روبشی مورد بررسی مورفولوژیک قرار گرفتند. برای تهیه نمونه فیلم‌ها به مدت 2 ساعت در گلو تار آلدئید $5/2\%$ در PBS قرار داده شد. پس از شستشوی کامل با PBS در اوزمیوم تتراکساید $1/10\%$ در PBS $1/10$ مولار به مدت 30 دقیقه قرار داده شد و بار دیگر به دقت با PBS شستشو داده شد. فرآیند آگیری با استفاده از سری محلول‌های رقیق شده آستون با آب تکمیل شد. پس از آگیری، نمونه‌ها به مدت 12 ساعت در $40-75$ درجه سانتی‌گراد فریزدرای و در آخر، با لایه نازکی از طلا پوشیده شدند.

۴- تفسیر و تحلیل نتایج

به طور کلی چهار نوع مختلف از پیک‌های ارتعاشی مربوط به گروه‌های آمیدی در پروتئین‌ها وجود دارد. پروتئین‌ها پیک‌های شاخصی را در فاصله 1630 cm^{-1} تا 1650 cm^{-1} برای آمید I (C=O کششی)، در فاصله 1520 cm^{-1} تا 1540 cm^{-1} برای آمید II (NH ثانویه، خمشی) و در فاصله 1230 cm^{-1} تا 1270 cm^{-1} برای آمید III (N-H, C-N گروه‌های عاملی) در طیف IR خود نشان می‌دهند [۱۷]. بررسی طیف IR پلی‌پپتیدها را در ساختارهای مختلف در باندهای آمید I و II نشان می‌دهد پیک پلی‌پپتیدها در فرم α -هلیکس برای باندهای آمید I را در 1655 cm^{-1} ظاهر می‌شود. آمید II نیز در فرم صفحات موازی در 1530 cm^{-1} پیک نشان می‌دهد. پیک 1655 cm^{-1} نیز برای آمید I در فرم پیچ‌های درهم پروتئین‌هایی که گروه‌های پپتیدی آنها با گروه‌های مجاور

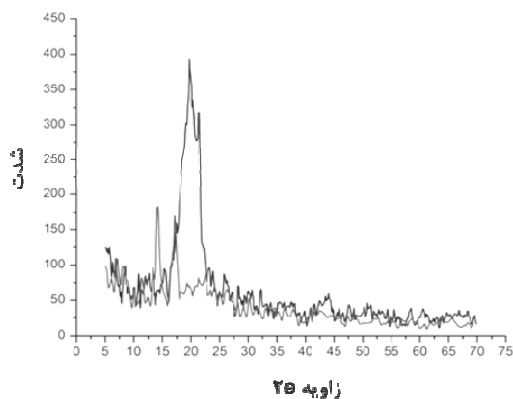
کاملاً تایید می‌کند. با مقایسه این نمودار و طیف FTIR ابریشم بوبیکس موری بدست آمده توسط دیگر محققان [۲۰] این اطمینان حاصل می‌شود که پروتئین حاضر فیروئین است (شکل ۳ ب).

پیوند هیدروژنی برقرار کرده‌اند دیده می‌شود [۱۸، ۱۹]. شکل ۳ الف طیف FTIR بدست آمده از پژوهش حاضر است؛ حضور بارز باندهای آمید I در 1655 cm^{-1} و آمید II در 1530 cm^{-1} و تایید آن در 699 cm^{-1} و آمید III در 1239 cm^{-1} وجود پروتئین را در ساختار ماریچی و پیچ‌های درهم



شکل ۳. الف) طیف FTIR فیروئین استخراج شده در این پژوهش، ب) طیف FTIR فیروئین گزارش شده توسط محققان دیگر

خواص فیزیکی متفاوتی نسبت به فیروئین اولیه دارد که از جمله می‌توان به عدم انحلال آن در شرایط معمولی در آب اشاره کرد.

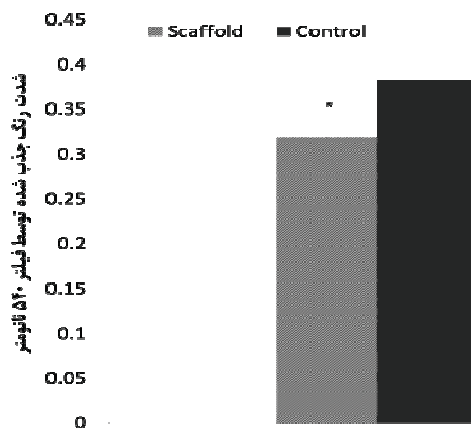


شکل ۴. طیف XRD مربوط به فیروئین قبل و بعد از بازیابی

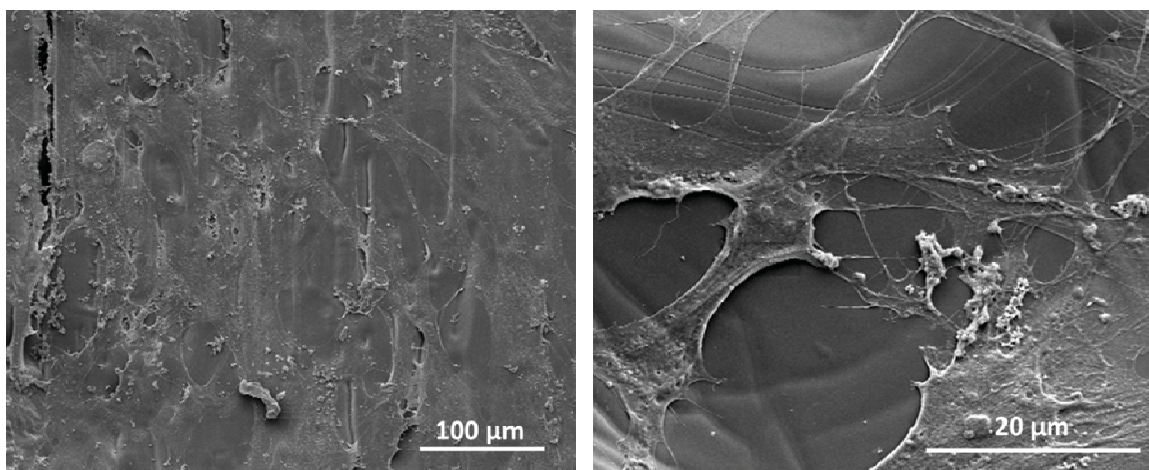
آزمون پراش پرتو ایکس به منظور بررسی تغییر میزان بلورینگی فیروئین استحصال شده در دو مرحله قبل و بعد از بازیابی توسط متانول انجام شد. نتایج آزمون پراش پرتو ایکس در شکل ۴ آمده است. دو پیک قوی در طیف مربوط به فیروئین قبل از قرار گرفتن در متانول در $2\theta = 14^\circ$ و $2\theta = 5/6^\circ$ قابل مشاهده است. این پیک‌ها نمایانگر ساختار silk I هستند [۲۱، ۱۹]. در طیف فیروئین بازیابی شده دو پیک شاخص در $2\theta = 20^\circ$ و $2\theta = 21^\circ$ دیده می‌شود که نشانه ساختار صفحات بتا در فیروئین بازیابی شده است [۲۲، ۲۳]. با توجه به سیستم طبیعی صفحات بتا در ابریشم طبیعی، می‌توان گفت که این الگوی منظم، پس از قرارگرفتن فیروئین اولیه در متانول تا حد زیادی بازیابی شده است. ابریشم بازیابی شده

کف پلی استایرنی ظرف کشت نداشته است و از آنجایی که در انجام تست MTT چندین بار شستشو انجام شده، سلول‌ها از چسبندگی خوبی بر روی این سطح برخوردارند. شکل ۶ تصویر سلول‌های استئوبلاست بر سطح فیلم ابریشمی را نشان می‌دهند. سلول‌ها با بازوهای کاذب کشیده بر روی سطح فیلم فیبروئین گسترده شده‌اند و سطح آن را پر کرده‌اند.

نتیجه بررسی چگالی رنگ فورمازان تولید شده توسط سلول‌ها در ۵۷۳ نانومتر توسط دستگاه الیزا و تحلیل داده‌های حاصل از دستگاه توسط نرم افزار SpSS 17.0 در نمودار شکل ۵ نشان داده شده است. با توجه به نمودار و نیز با استناد به غیرمعنی‌دار بودن ارزش p ($p=۲/۰$) می‌توان گفت میزان زنده‌بودن سلول‌ها بر روی لایه فیبروئینی تفاوت محسوسی با



شکل ۵. مقایسه نتیجه آزمون MTT کنترل پلی استایرنی با فیلم فیبروئینی در برابر سلول‌های استئوبلاست، * ارزش p برابر با ۲/۰



شکل ۶. سلول‌های استئوبلاست کشت داده شده روی فیلم فیبروئینی پس از چهار روز

۵- نتیجه گیری

با توجه به کاربردهای نوظهور پروتئین ابریشم در زمینه فناوری‌های نوین از جمله زیست‌پزشکی، استخراج فیبروئین از پيله کرم بومبیکس موری به عنوان یک منبع اقتصادی و بومی (ایرانی) ابریشم مورد بررسی قرار گرفت. فیبروئین استحصال شده در این پژوهش دارای خلوص مورد نظر و خواص مطلوبی از جمله شکل‌پذیری و زیست‌سازگاری است. عدم سمیت و رشد سلول‌های استئوبلاست بر روی فیلم‌های تهیه شده از فیبروئین بازیابی شده نشان می‌دهد این ماده برای ساخت مواد مرتبط با سیستم‌های زنده قابلیت‌های بالقوه فراوانی دارد و می‌توان از آن به عنوان یک کاندید مناسب در زمینه‌های مختلف زیست‌پزشکی از جمله ساخت غشاهای داربست‌ها و لایه‌های نازک استفاده کرد.

سپاسگزاری

با سپاس فراوان از مسئول محترم وقت مرکز تحقیقات کرم ابریشم ایران، جناب آقای مهندس مواج‌پور، برای تامین پيله ابریشم بومبیکس موری و قدردانی ویژه از مرکز تحقیقات نانوپزشکی و مهندسی‌بافت دانشگاه شهیدبهشتی که پژوهش حاضر را مورد حمایت مالی قرار دادند.

مراجع

- [7] A. Sonthisombat, P.T. Speakman, "Silk: queen of fibers", Thesis, University of Leeds, UK, 2003.
- [8] K. Numata, D. L. Kaplan, "Differences in Cytotoxicity of β -Sheet Peptides Originated from Silk and Amyloid β ", *Macromolecular Bioscience* (2011), 11, 60-64.
- [9] Y. Zhang, "Applications of natural silk protein sericin in biomaterials", *Biotechnology Advances* (2002), 20, 91-100.
- [10] E.S. Sashina, A. M. Bochek, N. P. Novoselov, D.A. Kirichenko, "Structure and Solubility of Natural Silk Fibroin", *Russian Journal of Applied Chemistry* (2006), 79, 869-876.
- [11] G. Vunjak-Novakovic, R.I. Freshney, "Culture of cells for tissue engineering", New Jersey, John Wiley & Sons, (2006), 323-330.
- [12] S. Louisia, M. Stromboni, A. Meunier, L. Sedel, H. Petite, "Repair of a large segmental diaphyseal defect with coral: Influence of fresh bone marrow on osteogenesis and coral resorption" *J. of bone and Joint Surgery* (1999), 81, 719-724.
- [13] U. Kim, J. Parka, H. J. Kim, M. Wadac, D. L. Kaplan, "Three-dimensional aqueous-derived biomaterial scaffolds from silk fibroin", *Biomaterials* (2005), 26, 2775-2785.
- [14] G. H. Altman, F. Diaz, C. Jakuba, T. Calabro, R. L. Horan, J. Chen, H. Lu, J. Richmond, D.L. Kaplan, "Silk-based biomaterials", *Biomaterials* (2003), 24, 401-416.
- [15] J.G. Hardy, T.R. Scheibel, "Composite materials based on silk proteins", *Progress in Polymer Science* (2010), 35, 1093-1115.
- [۱۶] دکتر مرتضی دهقان نژاد، "صنعت و تجارت ابریشم ایران در عصر زندگی"، *مجله الکترونیکی تاریخ و توسعه دانشگاه صنعتی اصفهان*، ۱۳۸۸.
- [17] B.H. Stuart, "Infrared Spectroscopy: Fundamentals and Applications", England, John Wiley & Sons, (2004),
- [18] T. Miyazawa, E.R. Blout, "The Infrared Spectra of Polypeptides in Various Conformations: Amide I and II Bands", *Journal of American Chemical Society* (1961), 83, 712-719.
- [19] B.B. Mandal, S.C. Kundu, "Non-Bioengineered Silk Gland Fibroin Protein: Characterization and Evaluation of Matrices for Potential Tissue Engineering Applications", *Biotechnology and Bioengineering* (2008), 6, 1237-1250.
- [20] I.C. Um, H.Y. Kweon, Y. H. Park, S. Hudson, "Structural characteristics and properties of the regenerated silk fibroin prepared from formic acid", *International Journal of Biological Macromolecules* (2001), 29, 91-97.
- [21] J. Ayutsede, M. Gandhib, S. Sukigarac, M. Micklusa, H. Chend, F. Ko, "Regeneration of Bombyx mori silk by electrospinning Part 3: characterization of electrospun nonwoven mat", *Polymer* (2005), 46, 1625-1634.
- [22] Z. H. Zhu, K. Ohgo, T. Asakura, "Preparation and characterization of regenerated Bombyx mori silk fibroin fiber with high strength", *Express Polymer Letters* (2008), 12, 885-889.
- [23] Y. Iridag, M.t Kazanci, "Preparation and Characterization of Bombyx mori Silk Fibroin and Wool Keratin", *Journal of Applied Polymer Science* (2006), 5, 4260-4264.
- [1] D. Chow, M.L. Nunalee, D.W. Lim, A. J. Simnick, A. Chilkoti, "Peptide-based biopolymers in biomedicine and biotechnology", *Materials Science and Engineering* (2008), R 62, 125-155.
- [2] J.G. Hardy, L.M. Romer, T.R. Scheibel, "Polymeric materials based on silk proteins", *Polymer* (2008), 49, 4309-4327.
- [3] C. Veparia, D.L. Kaplan, "Silk as a biomaterial", *Prog. Polym. Sci.* (2007), 32, 991-1007.
- [4] O. Hakimi, D.P. Knight, F. Vollrath, P. Vadgama, "Spider and mulberry silkworm silks as compatible biomaterials", *Composites: Part B* (2007), 38, 324-337.
- [5] M. Yang, J. Kawamura, Z. Zhu, K. Yamauchi, T. Asakura, "Development of silk-like materials based on Bombyx mori and Nephila clavipes dragline silk fibroins", *Polymer* (2009), 50, 117-124.
- [6] S.C. Kundua, B.C. Dasha, R. Dasha, D. L. Kaplan, "Natural protective glue protein, sericin bioengineered by silkworms: Potential for biomedical and biotechnological applications", *Progress in Polymer Science* (2008), 33, 998-1012.